

پاسخ دینامیکی پوسته‌های مرکب انحنا دار تحت ضربه عرضی

با سرعت پایین با اجرام ضربه‌زننده

محسن غلامی^۲

دانشکده مهندسی مکانیک

دانشگاه صنعتی خواجه نصیرالدین طوسی

(تاریخ دریافت: ۹۲/۰۹/۲۷؛ تاریخ پذیرش: ۹۳/۰۳/۱۴)

کرامت ملک زاده فرد^۱

مجتمع هوافضا

دانشگاه صنعتی مالک‌اشتر

چکیده

در مقاله حاضر برای اولین بار به تحلیل دینامیکی انواع پوسته‌های مرکب شامل دوانحنایه، تک‌انحنایه، صفحه تخت و پوسته استوانه‌ای کامل تحت ضربه با سرعت پایین توسط چند جرم ضربه‌زننده و براساس تئوری برشی مرتبه اول (FSDT)، برای شرایط مرزی ساده و گیردار پرداخته شده است. کرنش‌های مکانیکی براساس تئوری سنדרز استفاده شده است. نتایج با استفاده از دو مدل جرم و فنر بهبودیافته خطی شده جدید (شکل خطی قانون تماس هرتز) و مدل کامل (شکل کلی غیرخطی قانون تماس هرتز) استخراج و با یکدیگر مقایسه شده است. برای صحت‌گذاری بیشتر، نتایج با نرم‌افزار المان محدود آباکوس و آخرین کارهای انجام شده مقایسه شده است. مسئله چند ضربه در یک شکل کلی فرمول‌بندی شده و توانایی تحلیل ضربات همزمان سرعت پایین چند جرم ضربه‌زننده با جرم، سرعت و شعاع متفاوت در نقاط مختلف را دارد. در این مطالعه، اثر پارامترهای هندسی و مکانیکی پوسته‌های مرکب مانند نسبت طول به عرض (a/b)، نسبت طول به شعاع (L/R) و سرعت اجرام ضربه‌زننده بر روی پاسخ ضربه از هر دو مدل بررسی و مقایسه شده است.

واژه‌های کلیدی: ضربه با سرعت پایین، پوسته‌های مرکب انحنا دار، مدل جرم و فنر خطی شده جدید، قانون تماسی هرتز

Dynamic Response of the Curved Composite Shells Subjected to Low-Velocity Multi Mass Impacts

K. Malekzadeh Fard

Aerospace Engineering Department
MalekAshtar University

M. Gholami

Mechanical Engineering Department
K. N. Toosi University of Technology

(Received: 18 December, 2013; Accepted: 4 June, 2014)

ABSTRACT

In this paper, at the first time, dynamic response of double curved, single curved, flat and circular cylindrical composite shells with simply supported and clamped boundary conditions subjected to multi-mass impacts were studied based on the first-order shear deformation theory (FSDT). The mechanical strains were used according to Sander's theory. Using a new linearized two degrees of freedom spring-mass system (linear form of Hertzian contact law) and complete solution model (nonlinear form of Hertzian contact law), the results are derived and compared with together. For additional verification, the results are compared with the Abaqus finite element software and the latest available literature. The presented formulation is general and capable to analyses the cylindrical composite shells subjected to multi-mass impacts with arbitrary different masses, initial velocities and impact locations. In this investigation, the effect of geometrical and mechanical parameters, such as length to width ratio (a/b), length to radius ratio (L/R) and velocity of the impactor masses on the impacts response from both presented models are studied and compared with together.

Keywords: Low Velocity Impact, Curved Composite Shells, New Linearized, Spring-Mass Model, Hertzian Contact Low

۱- دانشیار (نویسنده پاسخگو): k.malekzadeh@gmail.com

۲- کارشناس ارشد: gholami.m64@gmail.com

۱- مقدمه

کرده‌اند. در این مطالعه همچنین آسیب و لایه لایه شدن لایه‌ها نیز بررسی شده است. لم^{۱۰} و همکاران [۱۰] در سال ۱۹۹۹ برای اولین بار تحلیل دو ضربه روی تیرهای مرکب را انجام دادند. آنها با استفاده از تئوری مرتبه بالای ردی^{۱۱} میدان جابه‌جایی یک تیر مرکب متقارن دوسر گیردار را نوشتند و برخورد بین اجرام ضربه‌زننده و تیر را با استفاده از قانون هرتز^{۱۲} بهبودیافته توصیف کردند. سپس با استفاده از رابطه لاگرانژ^{۱۳} معادلات حاکم بر مسئله را استخراج کردند. نتایج بررسی‌ها نشان می‌دهد که هیچ تحقیقی در مورد سازه‌های مرکب انحنادار و استوانه کامل تحت چند جرم ضربه‌زننده انجام نشده است. در واقع مقاله حاضر اولین تحقیق در این زمینه می‌باشد. در تحقیق حاضر پاسخ دینامیکی انواع پوسته‌های مرکب با شرط مرزی ساده و گیردار تحت اثر چند جرم ضربه‌زننده بررسی می‌شود. کرنش‌های مکانیکی براساس تئوری سندرز استفاده شده است [۱۶]. تاریخچه نیروی تماس از دو مدل جرم و فنر خطی بهبودیافته جدید و مدل کامل هرتز پیش‌بینی و مقایسه شده است. در نهایت اثر پارامترهای هندسی و مکانیکی پوسته مانند نسبت طول به عرض، نسبت طول به شعاع و سرعت ضربه‌زننده بر روی پاسخ ضربه از هر دو مدل و برای هر دو نوع شرط مرزی بررسی و مقایسه شده است. تحلیل در منطقه الاستیک بوده و تغییر مکان‌ها و چرخش‌ها کوچک فرض می‌شوند.

۲- معادلات حرکت

در این بخش معادلات حرکت برای یک پوسته نازک دو انحنایی تحت برخورد چند جرم ضربه‌زننده بر اساس تئوری مرتبه برشی اول استخراج می‌گردد.

۲-۱- سازه دو انحنایی

شکل ۱ مشخصات هندسی یک پوسته چندلایه دو انحنایی تحت چند جرم ضربه‌زننده را نشان می‌دهد.

ξ_1 و ξ_2 محورهای انحنادار صفحه‌ی میانی (صفحه‌ی مرجع) در $\xi = 0$ هستند. و ξ محور عمود بر صفحه‌ی میانی است. همچنین ξ_1 ، ξ_2 و ξ مختصات منحنی‌الخط متعامد هستند. R_1 و R_2 به ترتیب شعاع‌های اصلی انحنای صفحه‌ی میانی در جهت محور ξ_1 و ξ_2 هستند.

میدان جابه‌جایی براساس تئوری مرتبه برشی اول [۱۱]

امروزه سازه‌های مرکب به خاطر ویژگی‌هایی چون استحکام و سفتی مخصوص بالا و مقاومت در برابر خستگی و خوردگی، به‌طور گسترده‌ای در صنایع هوافضا، تجهیزات ورزشی، لوله‌های فشار و قسمت‌های مختلف خودرو مورد استفاده قرار می‌گیرند. رفتار سازه‌های مرکب در برابر ضربه کم‌سرعت توسط محققان زیادی به‌صورت تجربی، عددی و تحلیلی مورد مطالعه قرار گرفته است. اما در تحقیقات بسیار کمی به بررسی ضربه کم‌سرعت بر روی پوسته‌های انحنادار پرداخته شده است. چیریسستوفرو و سوانسون^۱ [۱] به‌روش تحلیلی به بررسی پاسخ ضربه بر روی یک صفحه مرکب پرداختند و از رابطه خطی قانون تماس هرتز برای به‌دست آوردن تاریخچه نیروی ضربه استفاده کردند. پیرسن و وزیر^۲ [۲] یک حل تحلیلی برای به‌دست آوردن نیروی ضربه از قانون غیرخطی هرتز بر روی صفحات مرکب ارائه دادند. چیریسستوفرو و یجیت^۳ [۳] مشخصات ضربه یک صفحه مرکب را با استفاده از قانون تماس خطی الاستوپلاستیک به‌روش تحلیلی مطالعه کردند. چان و لام^۴ [۴] یک روش عددی با استفاده از قانون لاگرانژ و قانون تماسی هرتز برای محاسبه پاسخ دینامیکی صفحات مرکب چندلایه پیشنهاد دادند. سان و چن^۵ [۵] به‌روش اجزاء محدود پاسخ ضربه بر روی صفحات مرکب با تنش‌های اولیه، با استفاده از قانون بهبودیافته هرتز را به‌دست آوردند. گانگ^۶ و همکاران [۶] نیروی ضربه بین یک پوسته استوانه‌ای مرکب و ضربه‌زننده را از مدل جرم و فنر دو درجه آزادی تعیین کردند. چاندراشکار و اس‌چرود^۷ [۷] به تحلیل غیرخطی ضربه بر روی پوسته‌های استوانه‌ای چند لایه به روش اجزاء محدود پرداختند و از قانون بهبود یافته هرتز برای تعیین تاریخچه نیروی تماس بهره بردند. کریشمارثی^۸ و همکاران [۸] به مطالعه پارامتریک بر روی پاسخ ضربه و آسیب پوسته‌های مرکب استوانه‌ای چندلایه به‌روش اجزاء محدود پرداختند. چان هر و چنگ لیانگ^۹ [۹] پاسخ دینامیکی پوسته‌های چندلایه مرکب را با استفاده از نرم‌افزار اجزاء محدود ANSYS/LS-DAYNA در برابر ضربه مطالعه

1- Christoforou and Swanson

2- Pierson and Vaziri

3-Christoforou and Yigit

4- Chun and Lam

5 -Sun and Chen

6- Gong

7 - Chandrashekara and Schroeder

8 -Krishnamurthy

9- Chuan her and Cheng Liang

10- Lam

11- Reddy

12- Hertz

13- Lagrangian Equation

به صورت زیر تعریف می شود:

$$\varepsilon_5^0 = \frac{\partial w_0}{\partial x_1} + \phi_1 - \frac{u_0}{R_1}, C_0 = \frac{1}{2} \left(\frac{1}{R_1} - \frac{1}{R_2} \right)$$

$$dx_i = A_i d\xi_i; (i = 1, 2),$$

در رابطه بالا، A_i ضرایب لامه بوده و پارامتر C_0 براساس تئوری ساندرز [۱۳] برای جلوگیری از چرخش جسم صلب در نظر گرفته شده است. در معادلات حرکت چرخش جسم صلب در نظر گرفته شده است. با یک تغییر متغیر به کمک معادله های (۳) و با فرض ثابت بودن تغییرات شعاع انحنا معادلات حرکت برای یک پوسته نازک دو انحنایی به صورت زیر نوشته می شود [۱۱]:

$$\frac{\partial N_1}{\partial x_1} + \frac{\partial N_6}{\partial x_2} + C_0 \frac{\partial M_6}{\partial x_2} + \frac{Q_1}{R_1} = I_0 \ddot{u}_0 + I_1 \ddot{\phi}_1$$

$$\frac{\partial N_6}{\partial x_1} + \frac{\partial N_2}{\partial x_2} - C_0 \frac{\partial M_6}{\partial x_1} + \frac{Q_2}{R_2} = I_0 \ddot{v}_0 + I_1 \ddot{\phi}_2$$

$$\frac{\partial Q_1}{\partial x_1} + \frac{\partial Q_2}{\partial x_2} - \left(\frac{N_1}{R_1} + \frac{N_2}{R_2} \right) + q_t - q_b = I_0 \ddot{w}_0$$

$$\frac{\partial M_1}{\partial x_1} + \frac{\partial M_6}{\partial x_2} - Q_1 = I_1 \ddot{u}_0 + I_2 \ddot{\phi}_1$$

$$\frac{\partial M_6}{\partial x_1} + \frac{\partial M_2}{\partial x_2} - Q_2 = I_1 \ddot{v}_0 + I_2 \ddot{\phi}_2$$
(۴)

$$I_i = \int_{-h/2}^{h/2} \rho(\xi)^i d\xi$$

$$= \sum_{k=1}^N \int_{\xi_k}^{\xi_{k+1}} \rho^k(\xi)^i d\xi; (i = 0, 1, 2),$$

که در آن، q_j بار دینامیکی عمود بر پوسته ناشی از ضربه زنده ها بوده و N_i و M_i به ترتیب برآیند تنش ها و گشتاورها می باشند. Q_i برآیند نیروهای برش عرضی هستند که برای یک ماده ارتوئروپیک خاص ($A_{i6} = B_{i6} = D_{i6} = 0; i = 1, 2$) به صورت زیر تعریف می شود [۱۴]:

$$\begin{Bmatrix} \{N\} \\ \{M\} \end{Bmatrix} = \begin{bmatrix} [A] & [B] \\ [B] & [D] \end{bmatrix} \begin{Bmatrix} \{\varepsilon^0\} \\ \{k\} \end{Bmatrix},$$

$$\begin{Bmatrix} Q_2 \\ Q_1 \end{Bmatrix} = k_s \begin{bmatrix} A_{44} & A_{45} \\ A_{45} & A_{55} \end{bmatrix} \begin{Bmatrix} \varepsilon_4^0 \\ \varepsilon_5^0 \end{Bmatrix},$$
(۵)

که در آن، A_{ij} ، B_{ij} و D_{ij} به ترتیب سفتی کششی، سفتی کوپل کششی - خمشی و سفتی خمشی چندلایه می باشند:

$$(A_{ij}, B_{ij}, D_{ij}) = \int_{-h/2}^{h/2} \bar{Q}_{ij}(1, \xi, \xi^2) d\xi$$

$$= \sum_{k=1}^N \bar{Q}_{ij}^{(k)} \int_{\xi_k}^{\xi_{k+1}} (1, \xi, \xi^2) d\xi,$$
(۶)

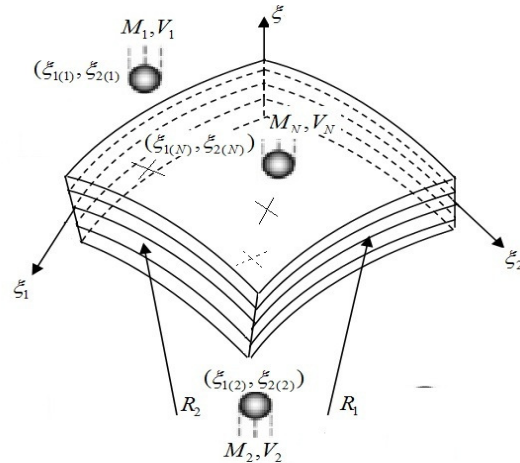
که در آن، k_s ضریب تصحیح برشی است که توسط میندلین [۱۵] برابر $\pi/12$ در نظر گرفته شده است. $\bar{Q}_{ij}^{(k)}$ ، مؤلفه های سفتی تبدیل یافته داخل

$$u_1(\xi_1, \xi_2, \xi, t) = u_0(\xi_1, \xi_2, t) + \xi \phi_1(\xi_1, \xi_2, t)$$

$$u_2(\xi_1, \xi_2, \xi, t) = v_0(\xi_1, \xi_2, t) + \xi \phi_2(\xi_1, \xi_2, t)$$

$$u_3(\xi_1, \xi_2, \xi, t) = w_0(\xi_1, \xi_2, t),$$
(۱)

که در آن، u_0, v_0, w_0 جابه جایی پوسته در راستای ξ_1, ξ_2 و ξ در صفحه میانی و ϕ_1 و ϕ_2 چرخش های نرمال عرضی به ترتیب حول محور ξ_2 و ξ_1 هستند.



شکل (۱): یک پوسته چندلایه دو انحنایی تحت چند جرم ضربه زنده از بالا و پایین.

روابط کرنش و جابه جایی یک پوسته دو انحنایی به صورت زیر است [۱۲]:

$$\varepsilon_1 = \varepsilon_1^0 + \xi k_1, \quad \varepsilon_2 = \varepsilon_2^0 + \xi k_2, \quad \gamma_{12} = \varepsilon_6^0 + \xi k_6$$

$$\gamma_{23} = \varepsilon_4 = \varepsilon_4^0, \quad \gamma_{13} = \varepsilon_5 = \varepsilon_5^0,$$
(۲)

که در آن، ε_1^0 و ε_2^0 مؤلفه های کرنش عمودی، ε_6^0 مؤلفه کرنش برشی و ε_4^0 و ε_5^0 مؤلفه های کرنش برشی عرضی صفحه میانی هستند. در حالی که k_1 و k_2 مربوط به تغییرات انحنا و k_6 مربوط به پیچش صفحه میانی پوسته هستند.

$$\varepsilon_1^0 = \frac{\partial u_0}{\partial x_1} + \frac{w_0}{R_1}, \quad k_1 = \frac{\partial \phi_1}{\partial x_1}, \quad \varepsilon_2^0 = \frac{\partial v_0}{\partial x_2} + \frac{w_0}{R_2}$$

$$k_2 = \frac{\partial \phi_2}{\partial x_2}, \quad \varepsilon_6^0 = \frac{\partial v_0}{\partial x_1} + \frac{\partial u_0}{\partial x_2},$$

$$\varepsilon_4^0 = \frac{\partial w_0}{\partial x_2} + \phi_2 - \frac{v_0}{R_2}$$

$$k_6 = \frac{\partial \phi_2}{\partial x_1} + \frac{\partial \phi_1}{\partial x_2} - C_0 \left(\frac{\partial v_0}{\partial x_1} - \frac{\partial u_0}{\partial x_2} \right),$$
(۳)

روابط کرنش - جابه‌جایی برای پوسته مرکب استوانه‌ای شکل: با اعمال تغییرات ذکر شده در ابتدای این بخش و اعمال آن بر معادلات (۲ و ۳)، می‌توان نوشت:

$$\begin{aligned} \varepsilon_1^0 &= \frac{\partial u_0}{\partial x}, \quad \varepsilon_2^0 = \frac{\partial v_0}{R \partial \theta} + \frac{w_0}{R}, \\ \varepsilon_6^0 &= \frac{\partial v_0}{\partial x} + \frac{\partial u_0}{R \partial \theta} \\ \varepsilon_5^0 &= \frac{\partial w_0}{\partial x} + \phi_x, \quad \varepsilon_4^0 \\ &= \frac{\partial w_0}{R \partial \theta} + \phi_\theta - \frac{v_0}{R}, \quad k_{11} = \frac{\partial \phi_x}{\partial x} \\ k_{22} &= \frac{\partial \phi_\theta}{R \partial \theta}, \\ k_{12} &= \frac{\partial \phi_\theta}{\partial x} + \frac{\partial \phi_x}{R \partial \theta} + \frac{1}{2R} \left(\frac{\partial v_0}{\partial x} - \frac{\partial u_0}{R \partial \theta} \right). \end{aligned} \quad (8)$$

معادلات حرکت پوسته مرکب استوانه‌ای شکل: با اعمال تغییرات گفته شده در ابتدای این بخش (۲-۴) و اعمال آن بر معادلات (۴)، می‌توان نوشت:

$$\begin{aligned} \frac{\partial N_{xx}}{\partial x} + \frac{\partial N_{x\theta}}{R \partial x_\theta} + C_0 \frac{\partial M_{x\theta}}{R \partial x_\theta} &= I_0 \ddot{u}_0 + I_1 \ddot{\phi}_x \\ \frac{\partial N_{x\theta}}{\partial x} + \frac{\partial N_{\theta\theta}}{R \partial x_\theta} - C_0 \frac{\partial M_{x\theta}}{\partial x} + \frac{Q_{\theta z}}{R} &= I_0 \ddot{v}_0 + I_1 \ddot{\phi}_\theta \\ \frac{\partial Q_{xz}}{\partial x} + \frac{\partial Q_{\theta z}}{R \partial x_\theta} - \left(\frac{N_{\theta\theta}}{R} \right) + q_t &= I_0 \ddot{w}_0 \\ \frac{\partial M_{xx}}{\partial x} + \frac{\partial M_{x\theta}}{R \partial x_\theta} - Q_{xz} &= I_1 \ddot{u}_0 + I_2 \ddot{\phi}_x \\ \frac{\partial M_{x\theta}}{\partial x} + \frac{\partial M_{\theta\theta}}{R \partial x_\theta} - Q_{\theta z} &= I_1 \ddot{v}_0 + I_2 \ddot{\phi}_\theta \\ C_0 &= -\frac{1}{2R}, \quad I_i = \int_{-h/2}^{h/2} \rho(z) z^i dz \\ &= \sum_{k=1}^N \int_{z^{(k)}}^{z^{(k+1)}} \rho^{(k)}(z) z^i dz, \quad (i=0,1,2). \end{aligned} \quad (9)$$

در نهایت مشابه با روش استخراج معادلات حرکت پوسته مرکب دو انحنایه، معادلات حاکم بر حرکت پوسته مرکب استوانه‌ای کامل به صورت زیر نوشته می‌شود:

$$\begin{aligned} LV^T &= F^T \\ V &= \{u_0, v_0, w_0, \phi_x, \phi_\theta\} \\ F &= \{I_0 \ddot{u}_0, I_0 \ddot{v}_0, I_0 \ddot{w}_0 - q_t, I_2 \ddot{\phi}_x, I_2 \ddot{\phi}_\theta\}, \end{aligned} \quad (10)$$

که در آن، اپراتورهای L_{ij} اپراتورهای مشتقات می باشند که مشابه اپراتورهای معادله (۷) هستند، فقط باید تغییرات $x_3 = z$ و $x_1 = x, x_2 = R\theta, R_2 = R, R_1 = \infty$ در آنها اعمال گردد.

۳- شرایط مرزی و روش حل مسئله

در این تحقیق، شرایط مرزی به صورت ساده و گیردار در نظر گرفته می‌شود. برای شرایط مرزی ساده در لبه های پوسته

صفحه‌ای و $\bar{Q}_{ij}^{(k)} (i, j = 4, 5)$ ، مؤلفه‌های سفتی تبدیل یافته برشی عرضی هستند.

با جایگذاری روابط (۱ و ۲) در (۵) و در نهایت با جایگذاری روابط معادله حرکت (۴)، معادلات حرکت پوسته برحسب جابه‌جایی‌های $u_0, v_0, w_0, \phi_1, \phi_2$ به صورت ماتریسی و به شرح زیر خلاصه می‌شود:

$$\begin{aligned} LV^T &= F^T \\ V &= \{u_0, v_0, w_0, \phi_1, \phi_2\} \\ F &= \{I_0 \ddot{u}_0, I_0 \ddot{v}_0, I_0 \ddot{w}_0 - q_t + q_b, I_2 \ddot{\phi}_1, I_2 \ddot{\phi}_2\}, \end{aligned} \quad (7)$$

که در آن، اپراتورهای L_{ij} اپراتورهای مشتقات می باشند که در ضمیمه الف آورده شده‌اند.

۲-۲ پوسته مرکب تک‌انحنایه باز

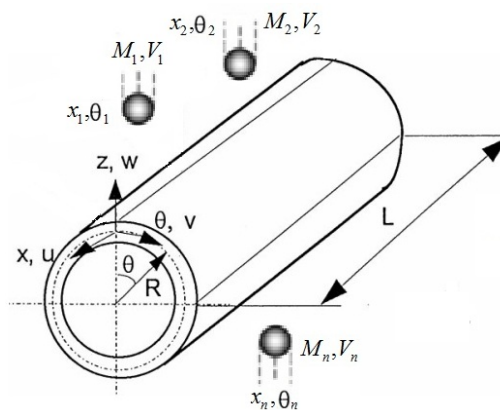
به منظور استخراج معادلات حاکم بر سازه مرکب تک‌انحنایه لازم است فقط تغییرات $R_2 = R$ و $R_1 = \infty$ در همه معادلات آورده شده در بخش ۱-۲ اعمال شود.

۲-۳ پوسته مرکب تخت

به منظور استخراج معادلات حاکم بر سازه مرکب تخت لازم است که تغییرات $R_2 = \infty$ و $R_1 = \infty$ در همه معادلات آورده شده در بخش ۱-۲ اعمال شود.

۲-۴ پوسته مرکب استوانه‌ای کامل

به منظور کاهش روابط به دست آمده برای سازه دو انحنایه (بخش ۲-۱) به پوسته مرکب استوانه‌ای کامل لازم است که تغییرات $x_3 = z$ و $x_1 = x, x_2 = R\theta, R_2 = R, R_1 = \infty$ اعمال گردد. در اینجا بعضی از روابط کاهش یافته ارائه می‌شود. در شکل ۲ یک پوسته مرکب استوانه‌ای کامل نشان داده شده است.



شکل (۲): یک پوسته چندلایه استوانه‌ای کامل تحت چند

جرم ضربه‌زننده.

که در آن، $U_{mn}, V_{mn}, W_{mn}, X_{mn}, Y_{mn}$ ضرایب زمانی هستند که باید تعیین شوند. در معادلات حرکت، تمامی سازه‌های مرکب به غیر از پوسته استوانه‌ای شکل با هر دو شرط مرزی ساده و گیردار، q_j ($j = t, b$) این نیروهای اجرام ضربه‌زننده هستند که می‌توانند به ترتیب به سطح بالای سازه (در جهت x_3) و سطح پایین سازه (در جهت $-x_3$) وارد شوند و به صورت زیر قابل بسط می‌باشند:

$$q_j(x_1, x_2, t) = \sum_{m=1}^{\infty} \sum_{n=1}^{\infty} \left[\sum_{i=1}^N q_{mn}^i(t) \right] \sin(\alpha_m x_1) \sin(\beta_n x_2), \quad (13)$$

که در آن، i یک شماره‌دهنده و معرف تعداد ضربه‌زننده می‌باشد ($i=1,2,3,\dots,N$). در اینجا برای حل مسئله از روش باقیمانده وزنی نوع حل تقریبی گالرکین استفاده می‌شود [۶]. با جایگذاری معادلات (۱۱) و (۱۳) در رابطه (۷) و استفاده از روش حل گالرکین، معادلات حرکت پوسته به صورت زیر به دست می‌آید:

$$[M] \{\dot{X}\} + [K] \{X\} = \{Q\} \\ \{X\} = \{U_{mn}(t), V_{mn}(t), W_{mn}(t), X_{mn}(t), Y_{mn}(t)\}^T \quad (14) \\ \{Q\} = \{0, 0, q_{mn}^i(t), 0, 0\}^T,$$

که در آن، M ماتریس جرم و K ماتریس سفتی بوده و در پیوست الف تعدادی از درآیه های آنها آورده شده است. بنابراین، برای نیروهای ضربه‌زننده متمرکز که به نقاط دلخواه از سطح پوسته همچون (x_{1i}, x_{2i}) مطابق شکل ۱ وارد می‌شوند، ضریب زمانی $q_{mn}^i(t)$ به صورت زیر نوشته می‌شود [۱۶ و ۱۷].

$$q_{mn}^i(t) = \frac{4F_c^i(t)}{ab} \sin(\alpha_m x_{1i}) \sin(\beta_n x_{2i}), \quad (15)$$

که در آن، $F_c^i(t)$ نیروهای ضربه بوده که به صورت بار ضربه عرضی سطح خارجی و یا زیرین پوسته مطابق شکل ۱ وارد می‌شود. نیروهای ضربه در مراحل بعد توسط دو مدل کامل و جرم و فنر به دست خواهند آمد.

برای پوسته استوانه‌ای مرکب با هر دو شرط مرزی ساده و گیردار، q_t نیروی ناشی از اجرام ضربه‌زننده بوده که فقط بر سطح بالای سازه می‌توانند برخورد کنند و به صورت سری دوگانه فوریه همانند رابطه (۱۶) قابل بسط می‌باشند:

$$q_t(x, \theta, t) = \sum_{m=1}^{\infty} \sum_{n=1}^{\infty} \left[\sum_{i=1}^N q_{mn}^i(t) \right] \sin(\alpha_m x) \cos(n\theta) \quad (16)$$

که در آن، i یک شماره‌دهنده و معرف تعداد ضربه‌زننده می‌باشد ($i=1,2,3,\dots,N$). با جایگذاری معادلات (۱۲) و (۱۶) در رابطه (۱۰) و استفاده از روش حل گالرکین، معادلات حرکت پوسته به صورت زیر به دست می‌آید:

تغییر مکان عرضی و ممان خمشی حول محور موازی لبه‌ها صفر منظور می‌شود. برای شرایط مرزی گیردار تغییر مکان عرضی و شیب صفر فرض می‌شود [۶].

به منظور ارضاء شرایط مرزی ساده، میدان جابه‌جایی تمامی سازه‌ها به جز پوسته استوانه‌ای کامل به صورت بسط سری فوریه دوگانه همانند زیر تعریف می‌شود [۱۱]:

$$u_0(x_1, x_2, t) = \sum_{n=1}^{\infty} \sum_{m=1}^{\infty} U_{mn}(t) \cos \alpha_m x_1 \sin \beta_n x_2 \\ v_0(x_1, x_2, t) = \sum_{n=1}^{\infty} \sum_{m=1}^{\infty} V_{mn}(t) \sin \alpha_m x_1 \cos \beta_n x_2 \\ w_0(x_1, x_2, t) = \sum_{n=1}^{\infty} \sum_{m=1}^{\infty} W_{mn}(t) \sin \alpha_m x_1 \sin \beta_n x_2 \quad (11)$$

$$\phi_1(x_1, x_2, t) = \sum_{n=1}^{\infty} \sum_{m=1}^{\infty} X_{mn}(t) \cos \alpha_m x_1 \sin \beta_n x_2$$

$$\phi_2(x_1, x_2, t) = \sum_{n=1}^{\infty} \sum_{m=1}^{\infty} Y_{mn}(t) \sin \alpha_m x_1 \cos \beta_n x_2$$

$$\alpha_m = \frac{m\pi}{a}, \quad \beta_n = \frac{n\pi}{b}.$$

که در آن، $U_{mn}, V_{mn}, W_{mn}, X_{mn}, Y_{mn}$ ضرایب زمانی هستند که باید تعیین شوند. برای شرط مرزی گیردار کافی است که در روابط ارائه شده برای چرخش‌ها در معادلات (۱۱) عبارات $\cos \alpha_m x_1$ و $\cos \beta_n x_2$ به ترتیب به صورت $\sin \alpha_m x_1$ و $\sin \beta_n x_2$ نوشته شوند. با این کار صفر شدن شیب‌ها در لبه‌های پوسته محقق می‌شود. لازم به ذکر است که در شرایط مرزی به کار رفته مطابق معادلات (۱۱)، اجازه حرکات صفحه‌ای وجود دارد [۱۱]. این موضوع برای هر دو شرط مرزی لولا و گیردار صادق است، در غیر این صورت پدیده اتساع یا کش آمدگی صفحه‌ای رخ می‌داد و باید از کرنش‌های غیرخطی در حل مسئله استفاده می‌شد. بنابراین در شرط مرزی گیردار شروط صفر بودن تغییر مکان عرضی و شیب صفر برای پوسته‌های نازک کافی است [۶]. برای پوسته استوانه کامل، مؤلفه‌های میدان جابه‌جایی برای شرط مرزی ساده به صورت زیر نوشته می‌شوند [۱۶ و ۱۷]:

$$u_0(x, \theta, t) = \sum_{n=0}^{\infty} \sum_{m=1}^{\infty} U_{mn}(t) \cos \alpha_m x \cos n\theta \\ v_0(x, \theta, t) = \sum_{n=0}^{\infty} \sum_{m=1}^{\infty} V_{mn}(t) \sin \alpha_m x \sin n\theta \\ w_0(x, \theta, t) = \sum_{n=0}^{\infty} \sum_{m=1}^{\infty} W_{mn}(t) \sin \alpha_m x \cos n\theta \quad (12)$$

$$\psi_x(x, \theta, t) = \sum_{n=0}^{\infty} \sum_{m=1}^{\infty} X_{mn}(t) \cos \alpha_m x \cos n\theta$$

$$\psi_\theta(x, \theta, t) = \sum_{n=0}^{\infty} \sum_{m=1}^{\infty} Y_{mn}(t) \sin \alpha_m x \sin n\theta$$

$$\alpha_m = \frac{m\pi}{a}, \quad m = 1, 2, 3, \dots \quad n = 0, 1, 2, 3, \dots,$$

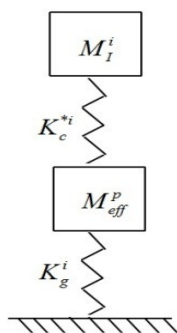
غیرخطی جفت شده به صورت زیر به دست می آید:

$$\begin{aligned} [M]\{\ddot{X}\} + [K]\{X\} &= \{Q\} \\ m_p^i \ddot{w}_p^i + F^i(t) &= 0, \\ w_j^i(t=0) &= 0, \\ \dot{w}_j^i(t=0) &= V_0^i \\ F_c^i(t) &= K_c^i (\alpha^i)^n, \\ \alpha^i &= w_j^i - w_0(x_{1i}, x_{2i}). \end{aligned} \quad (21)$$

۴-۲- مدل جرم و فنر بهبود یافته خطی شده جدید

در این تحقیق از سامانه دو درجه آزادی جرم و فنر [۲۱] مطابق شکل ۳ برای تعیین تاریخچه نیروی تماسی استفاده شده است. که جرم M_i^i جرم اِامین ضربه زننده و M_{eff}^p جرم مؤثر پوسته، K_c^{*i} سفتی تماسی خطی اصلاح شده در اِامین نقطه ضربه و K_g^i سفتی معادل پوسته می باشند. با استفاده از مدل خطی شده ی چوی [۲۱] قانون خطی هرگز جایگزین قانون غیرخطی هرگز شده است. بنابراین نیروی تماسی به صورت زیر محاسبه می شود.

$$\begin{aligned} F_c^i &= K_c^{*i} [Z_2^i(t) - Z_1^i(t)] \\ K_c^{*i} &= K_c^i \frac{1}{n} F_{c \max}^i \frac{n-1}{n}. \end{aligned} \quad (22)$$



شکل (۳): مدل جرم و فنر دو درجه آزادی خطی بهبود یافته.

در رابطه بالا K_c^i معرف سفتی تماسی غیرخطی به ازای اِامین ضربه زننده و $F_{c \max}^i$ بیشینه نیروی تماسی پیش بینی شده به ازای اِامین ضربه زننده است. با نوشتن معادلات دیفرانسیل سامانه جرم و فنر خطی، استفاده از معادلات (۲۲) و بعضی از ساده سازی ها می توان نوشت:

$$\begin{aligned} F_c^i(t) &= \frac{K_c^i V^i}{(\phi_2^i - \phi_1^i)} \left[\frac{1 - \phi_2^i}{\omega_2^i} \sin(\omega_2^i t) \right. \\ &\quad \left. - \frac{1 - \phi_1^i}{\omega_1^i} \sin(\omega_1^i t) \right]. \end{aligned} \quad (23)$$

$$\begin{aligned} [M]\{\ddot{X}\} + [K]\{X\} &= \{Q\} \\ \{X\} &= \{U_{mn}(t), V_{mn}(t), W_{mn}(t), X_{mn}(t), Y_{mn}(t)\}^T \\ \{Q\} &= \{0, 0, q_{mn}^i, 0, 0\}^T, \end{aligned} \quad (17)$$

که در آن، M ماتریس جرم و K ماتریس سفتی می باشند. بنابراین برای نیروهای ضربه زننده متمرکز که به نقاط دلخواه از سطح پوسته همچون (x_i, θ_i) مطابق شکل ۲ وارد می شوند، ضربه زمانی $q_{mn}^i(t)$ به صورت زیر نوشته می شود [۱۷]:

$$\begin{cases} q_{m0}^i(t) = \frac{F_c^i(t)}{\pi LR} \sin(\alpha_m x_i) & \text{if } n=0 \\ q_{mn}^i(t) = \frac{2F_c^i(t)}{\pi LR} \sin(\alpha_m x_i) \cos(n\theta_i) & \text{if } n>0 \end{cases}, \quad (18)$$

که در آن، $F_c^i(t)$ نیروهای ضربه بوده که به صورت بار ضربه عرضی بر سطح خارجی پوسته مطابق شکل ۲ وارد می شود. نیروهای ضربه در مراحل بعد توسط دو مدل کامل و جرم و فنر به دست خواهند آمد.

۴-۳- به دست آوردن تاریخچه نیروی ضربه

در مطالعه ی حاضر برای تعیین تاریخچه نیروی تماسی از دو مدل کامل و مدل جرم و فنر بهبود یافته استفاده می شود که در ادامه این دو مدل به طور کامل توضیح داده می شود.

۴-۱- مدل کامل هرگز

در این مدل از قانون غیرخطی بهبود یافته تماس هرگز برای به دست آوردن تاریخچه نیروی تماسی استفاده شده است. قانون تماس هرگز در اصل برای بارگذاری استاتیکی بر روی یک نیم فضای الاستیک خطی گسترش یافته است [۱۷]. اما این قانون با انجام تصحیحاتی، برای مسائل ضربه بر روی سازه های مرکب نیز به کار می رود که به صورت زیر نوشته می شود [۱۸]:

$$F_c^i(t) = K_c^i (\alpha^i)^n = K_c^i (w_j^i - w_0(x_{1i}, x_{2i}))^{1.5} \quad (19)$$

که در آن، α^i میزان فرورفتگی در اِامین نقطه ضربه و w_j^i جابه جایی اِامین ضربه زننده و w_0 جابه جایی پوسته در اِامین نقطه برخورد و K_c^i سفتی تماسی هرگز اِامین ضربه زننده می باشد که برای سازه دوانحنایی به صورت زیر تعریف می شود (برای بقیه سازه ها تغییرات گفته شده در بخش ۲ می بایست اعمال شود) [۷، ۱۹ و ۲۰]:

$$\begin{aligned} k_c^i &= \frac{4}{3} E^{*i} \sqrt{R^{*i}} \\ \frac{1}{E^{*i}} &= \frac{1 - \nu_j^{2i}}{E_j^i} + \frac{1 - \nu_s^2}{E_s}, \quad \frac{1}{R^{*i}} = \frac{1}{R_j^i} + \frac{1}{2} \left(\frac{1}{R_1} + \frac{1}{R_2} \right), \end{aligned} \quad (20)$$

که در آن، اندیس j و s به ترتیب مربوط به جسم ضربه زننده و سازه هدف است. شماره i شماره ضربه زننده می باشد. در نهایت با استفاده کردن از مدل کامل هرگز معادلات حاکم بر حرکت به صورت یک دسته معادلات دیفرانسیلی معمولی

فتر اصلاح شده مقاله حاضر به دست می آید. در تحلیل های انجام شده توسط شیواکومار و همکاران [۲۰] و گانگ [۶] جرم مؤثر سازه برابر یک چهارم جرم کل سازه در نظر گرفته شده است. سوانسون [۲۳] رابطه ای تقریبی و ساده برای محاسبه جرم مؤثر سازه های مرکب در i امین نقطه ضربه به صورت زیر ارائه داد.

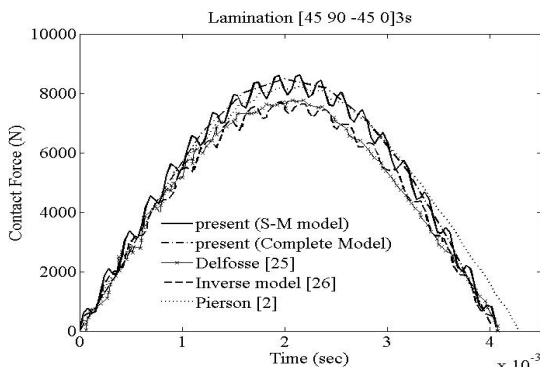
$$M_{eff}^p \approx \frac{K_g^i}{\omega_f^2}$$

ω_f کوچک ترین فرکانس طبیعی سازه است که از حل ارتعاشات آزاد به دست می آید.

۵- صحنه گذاری نتایج

در این قسمت به صحنه گذاری نتایج به دست آمده از دو مدل پیشنهادی برای سازه های مرکب اشاره شده با هر دو شرط مرزی ساده و گیردار پرداخته می شود. به عنوان اولین مثال، یک صفحه مرکب تحت یک جرم ضربه زننده مطابق جدول ۱ در نظر گرفته می شود. تاریخچه نیروی تماس به دست آمده از مدل کامل و مدل جرم و فتر جدید بهبود یافته با نتایج تجربی دلفوز [۲۵] و مدل تحلیلی پیرسن [۲] و مدل معکوس چیرستوفورو [۲۶] در شکل ۴ مقایسه شده است.

مشاهده می شود که نتایج مطابقت خوبی دارند. مدل کامل بیشینه نیروی تماس را نسبت به مدل جرم و فتر بهبود یافته نزدیک تر پیش بینی می کند. مدت زمان تماس حاصل از مدل کامل و جرم و فتر نسبت به حل تحلیلی پیرسن، به مدت زمان تماس تجربی دلفوز نزدیک تر است. در مثال دوم یک جسم کروی فولادی با پوسته مرکب دو انحنایه برخورد می کند.



شکل (۴): مقایسه تاریخچه نیروی تماسی حاصل از مدل های پیشنهادی با نتایج به دست آمده از کارهای پیشین.

$$\omega_1^i = \frac{1}{2} \left(\frac{(N^i + 1)K_c^{i*} + K_g^i}{N^i M_l^i} - \sqrt{\left(\frac{(N^i + 1)K_c^{i*} + K_g^i}{N^i M_l^i} \right)^2 - 4 \frac{K_c^{i*} K_g^i}{N^i M_l^i}} \right)$$

$$\omega_2^i = \frac{1}{2} \left(\frac{(N^i + 1)K_c^{i*} + K_g^i}{N^i M_l^i} + \sqrt{\left(\frac{(N^i + 1)K_c^{i*} + K_g^i}{N^i M_l^i} \right)^2 - 4 \frac{K_c^{i*} K_g^i}{N^i M_l^i}} \right)$$

$$\frac{K_c^{i*}}{K_c^{i*} - M_l^i \omega_1^i} = \phi_1^i, \quad \frac{K_c^{i*}}{K_c^{i*} - M_l^i \omega_2^i} = \phi_2^i,$$

که در آن $N^i = \frac{M_{eff}^p}{M_l^i}$ می باشد و همچنین سفتی پوسته مرکب در i امین نقطه ضربه زننده به صورت زیر قابل محاسبه است [۲۴-۲۲]:

$$K_g^i = \frac{1}{\delta_1^i}, \quad \delta_1^i = w(x_{li}, y_{li} \text{ or } x_i, \theta_i), \quad (25)$$

که در آن، δ_1^i خیز استاتیکی سازه به ازای بار واحد در i امین نقطه ضربه زننده می باشد.

حال به منظور به دست آوردن سفتی تماسی خطی شده، برای اولین بار در این مقاله از یک روش جدید که بر پایه بسط سینوس و کسینوس می باشد، استفاده می شود:

$$\sin(\omega_1^i t) = (\omega_1^i t) - \frac{1}{6} (\omega_1^i t)^3$$

$$\sin(\omega_2^i t) = (\omega_2^i t) - \frac{1}{6} (\omega_2^i t)^3. \quad (26)$$

با جایگذاری معادلات (۲۶) در معادله (۲۳)، اعمال اولین مشتق گیری از معادله حاصل و سپس استفاده از معادلات (۲۴) و بعضی ساده سازی ها، بیشینه زمان تماس و همچنین بیشینه نیروی برخورد به ازای i امین ضربه زننده به صورت کاملاً تحلیلی و به شرح زیر به دست می آید:

$$t_{max}^i = \sqrt{\frac{2N^i M_l^i}{(N^i + 1)K_c^{i*}}}, \quad (27)$$

$$F_{c,max}^i = \frac{2}{3} V^i \sqrt{\frac{2N^i M_l^i K_c^{i*}}{(N^i + 1)}}$$

$$K_c^{i*} = \left(\frac{2\sqrt{2}}{3} \right)^{\frac{2(n-1)}{n+1}} \quad (28)$$

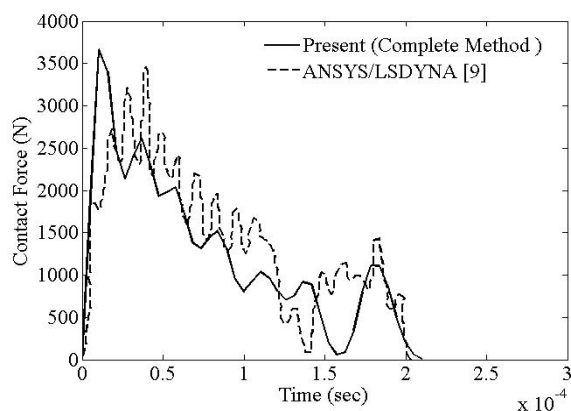
$$\left(\frac{N^i}{N^i + 1} \right)^{\frac{n-1}{n+1}} (V^i)^{\frac{2(n-1)}{n+1}} (K_c^i)^{\frac{2}{n+1}} (M_l^i)^{\frac{n-1}{n+1}}$$

در نهایت مشابه روش انجام شده در بخش ۴-۱ معادلات کلی سازه های مرکب تحت اجرام ضربه زننده به صورت زیر قابل نوشتن است:

$$[M] \{\ddot{X}\} + [K] \{X\} = \{Q\}. \quad (29)$$

لازم به ذکر است که در معادله (۲۹) بردار $\{Q\}$ از مدل جرم و

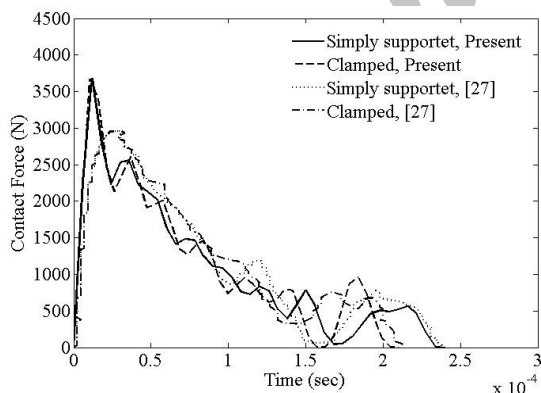
- 1- Shivakumar
- 2- Gong
- 3- Swanson



شکل (۵): مقایسه تاریخچه نیروی تماسی حاصل از مدل کامل با حل اجزاء محدود هر و چنگ لیانگ [۹].

جدول (۳): هندسه و جنس پوسته مرکب تک انحنایه باز و ضربه‌زننده فولادی [۲۷].

پوسته تک انحنایه کامپوزیتی	
$E_{11} = 144.8 \text{ GPa}$ $E_{22} = 9.65 \text{ GPa}$ $G_{12} = G_{13} = 7.1 \text{ GPa}$ $G_{23} = 5.92 \text{ GPa}$ $\rho = 1389.2 \text{ kgm}^{-3}, \nu_{12} = 0.3$	$a = b = 254 \text{ mm}$ $h = 2.54 \text{ mm}$ $R_1 = \infty, R_2 = 25.4$ lamination = [0/90/90/0]
ضربه‌زننده	
$E = 200 \text{ GPa}, \rho = 7870 \text{ kgm}^{-3}, \nu = 0.3, d_1 = 12.7 \text{ mm}$ $V_1 = 30 \text{ ms}^{-1}$	



شکل (۶): مقایسه تاریخچه نیروی تماسی حاصل از مدل کامل با نتایج مرجع [۲۷] برای هر دو نوع شرط مرزی.

همان‌طور که از شکل‌های ۶ و ۷ مشاهده می‌شود، تطابق بسیار خوبی بین نتایج به‌دست آمده از مدل کامل با نتایج مرجع [۲۷] برای هر دو شرط مرزی برقرار است.

جدول (۱): هندسه و جنس صفحه و ضربه‌زننده فولادی [۲].

صفحه کامپوزیتی	
$E_{11} = 129 \text{ GPa}$ $E_{22} = 7.5 \text{ GPa}$ $G_{12} = G_{13} = 3.5 \text{ GPa}$ $G_{23} = 2.6 \text{ GPa}$ $\rho = 1540 \text{ kgm}^{-3}, \nu_{12} = 0.33$	$a = 127 \text{ mm}$ $b = 76.2 \text{ mm}$ $h = 4.65 \text{ mm}$ $k_c = 1.21 \text{e}9 \text{ Nm}^{-3/2}$
ضربه‌زننده	
$E = 200 \text{ GPa}$ $\rho = 7971 \text{ kgm}^{-3}$ $\nu = 0.3$	$d_1 = 25.4 \text{ mm}$ $V_1 = 1.76 \text{ ms}^{-1}$ $m_1 = 6.15 \text{ Kg}$

مشخصات پوسته و ضربه‌زننده در جدول ۲ آورده شده است [۹]. تاریخچه نیروی به‌دست آمده از مدل کامل با تاریخچه نیروی تماس هر و چنگ لیانگ [۹] مطابق شکل ۵ مقایسه شده است و از تطابق خوبی برخوردار است. هر و چنگ در این تحقیق تاریخچه نیروی تماس را از قانون تماس هر تز با استفاده از نرم‌افزار اجزاء محدود ANSYS/LS-DAYNA به‌دست آورده‌اند. در این مثال جسم ضربه‌زننده نسبت به مثال قبلی بسیار سبک‌تر است.

جدول (۲): هندسه و جنس پوسته کروی و ضربه‌زننده فولادی [۹].

مشخصات هندسی پوسته مرکب دو انحنایه	
$a = b = 25.4 \text{ mm}, h = 2.54 \text{ mm}, R_1 = R_2 = 1.27 \text{ m}$ lamination = [0/90/90/0]	
خواص پوسته مرکب دو انحنایه	
$E_{11} = 144.8 \text{ GPa}, E_{22} = 9.65 \text{ GPa}, G_{12} = G_{13} = 7.1 \text{ GPa}$ $G_{23} = 5.92 \text{ GPa}, \nu_{12} = 0.3, \rho = 1389.2 \text{ kgm}^{-3}$	
خواص ضربه‌زننده	
$E = 200 \text{ GPa}, \nu = 0.3, \rho = 7870 \text{ kgm}^{-3}$ $d_1 = 12.7 \text{ mm}, m_1 = 0.00844 \text{ kg}, V_1 = 30 \text{ ms}^{-1}$	

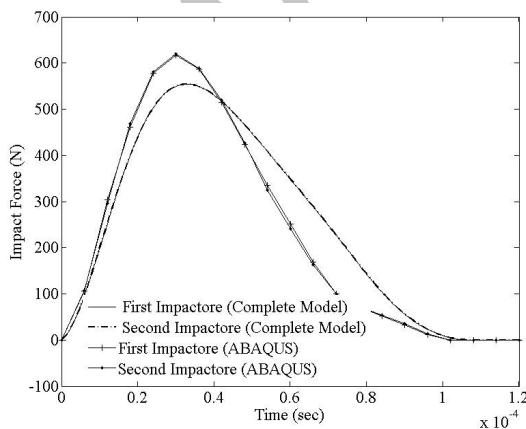
در مثال سوم یک سازه تک‌انحنایه مرکب با شرایط مرزی ساده و گیردار تحت یک جرم ضربه‌زننده در وسط سازه بررسی می‌شود. مشخصات سازه و ضربه‌زننده در جدول ۳ داده شده است. تاریخچه نیرو و خیز به‌دست آمده از مدل کامل برای هر دو نوع شرط مرزی ساده و گیردار برای یک پوسته مرکب تک انحنایه که با نتایج مرجع [۲۷] مقایسه شده است، به‌ترتیب در شکل ۶ و ۷ نشان داده شده است.

همان طور که مشاهده می شود، نتایج به دست آمده از تطابق بسیار خوبی برخوردار است. از مثال های بررسی شده قبلی می توان گفت که فرمول بندی ارائه شده با استفاده از هر دو مدل پیشنهادی با هر دو نوع شرط مرزی، برای سازه های مرکب با هندسه های مختلف، توانایی بسیار خوبی در پیش بینی نتایج دارند. در ادامه به منظور اطمینان از صحت فرمول بندی ارائه شده در تحلیل چندضربه یک پوسته مرکب تخت با شرط مرزی گیردار تحت برخورد دو جرم ضربه زننده در نقاط مرزی $(x_1=a/5, y_1=b/2)$ و $(x_2=4a/5, y_2=b/2)$ در نظر گرفته می شود. خواص مکانیکی و جنس پوسته و ضربه زننده ها مشابه جدول ۳ و خواص هندسی صفحه و اجرام ضربه زننده مطابق جدول ۵ می باشد.

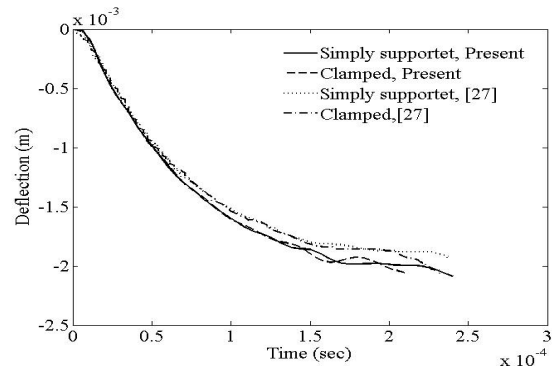
جدول (۵): خواص هندسی اجرام ضربه زننده و صفحه.

$a = b = 300 \text{ mm}$, $h = 4.5 \text{ mm}$, Lamination [0 90 90 0] $d_i = 18 \text{ mm}$, $V_i = 3 \text{ ms}^{-1}$, $m_i = 0.008 \text{ Kg}$; $i = 1, 2$ $x_1 = a/5$, $x_2 = 4a/5$, $y_1 = y_2 = b/2$

با توجه به نبود تحقیق و مقالات در زمینه تحلیل چندضربه پوسته ها در مراجع، به منظور صحت گذاری در تحلیل دوضربه، از نرم افزار المان محدود ABAQUS استفاده می گردد. سازه مفروض تحت برخورد دو جرم ضربه زننده در این نرم افزار مدل گردیده و از المان های هشت گره ای SC8R استفاده شده است. نتایج حاصل با یکدیگر مقایسه شده است. در شکل ۹ و ۱۰ به ترتیب تاریخچه نیروی برخورد و خیز صفحه مرکب در هر دو نقطه برخورد، مقایسه و نشان داده شده است.



شکل (۹): مقایسه تاریخچه نیروی تماسی حاصل از دو مدل تحلیلی و المان محدود.

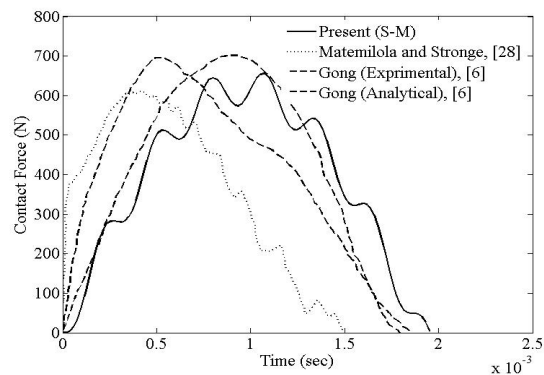


شکل (۷): مقایسه تاریخچه تغییر مکان عرضی (شعاعی) حاصل از مدل کامل با نتایج مرجع [۲۷] برای هر دو نوع شرط مرزی.

به عنوان آخرین مثال در زمینه تک ضربه، یک پوسته استوانه کامل تحت یک جرم ضربه زننده با مشخصات داده شده در جدول ۴ در نظر گرفته می شود. در شکل ۸ برای سازه به حالت استوانه کامل تاریخچه نیروی ضربه به دست آمده از مدل جرم فنر با نتایج به دست آمده قبلی در مراجع [۶] و [۲۸] مقایسه شده است.

جدول (۴): هندسه و جنس پوسته استوانه ای کامل مرکب و ضربه زننده فولادی [۲۸].

سازه مرکب استوانه ای	
$E_{11} = 14.506 \text{ GPa}$ $E_{22} = 5.362 \text{ GPa}$ $G_{12} = G_{13} = 2.509 \text{ GPa}$ $G_{23} = 2.509 \text{ GPa}$ $\rho = 1526 \text{ kgm}^{-3}$, $\nu_{12} = 0.3$	$L = 280 \text{ mm}$ $R = 108 \text{ mm}$ $h = 2.3 \text{ mm}$ Lamination [90] ₈
ضربه زننده	
$E = 200 \text{ GPa}$, $\rho = 7900 \text{ kgm}^{-3}$, $\nu = 0.3$, $d_1 = 13.2 \text{ mm}$ $V_1 = 5 \text{ ms}^{-1}$, $m_1 = 0.0751 \text{ Kg}$	



شکل (۸): مقایسه تاریخچه نیروی تماسی حاصل از مدل جرم و فنر با نتایج به دست آمده از کارهای پیشین.

ارائه شده توانایی بسیار بالایی در تحلیل تک و چندضربه سازه‌های مرکب را دارد. در ادامه بعضی از نتایج مربوط به اثر بعضی از پارامترهای هندسی و مکانیکی ضربه‌زننده‌ها روی رفتار دینامیکی این سازه‌ها بررسی می‌شوند.

۶- نتایج مربوط به مطالعه پارامتری و بحث

در این قسمت به بررسی اثر بعضی پارامترهای هندسی و مکانیکی پوسته‌های اشاره شده مانند، نسبت طول به عرض (a/b) سازه یا همان ضریب منظری، نسبت طول به شعاع پوسته استوانه‌ای (L/R) ، زاویه الیاف، سرعت اجرام ضربه‌زننده بر روی رفتار دینامیکی این سازه‌ها پرداخته شده است و نتایج به‌دست آمده در بعضی موارد از هر دو مدل کامل و جرم و فنر و برای هر دو نوع شرط مرزی ساده و گیردار و در بعضی دیگر با یکی از این مدل‌ها با هم مقایسه و بحث شده است.

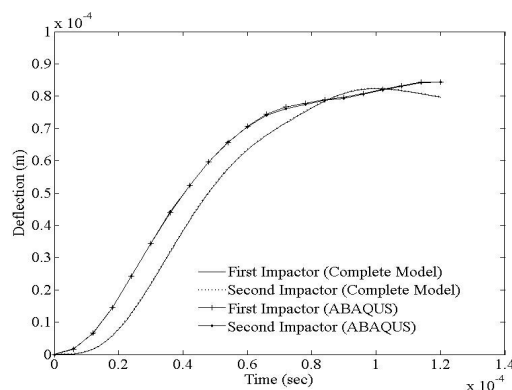
۶-۱- اثر نسبت a/b

در این بخش اثر پارامتر طول به عرض پوسته مرکب دو انحنای تحت برخورد دو جرم ضربه‌زننده در نقاط $(x_1=a/5, y_1=b/2)$ و $(x_2=4a/5, y_2=b/2)$ بررسی می‌شود. خواص مکانیکی پوسته و ضربه‌زننده‌ها مانند جدول ۶ می‌باشد.

جدول (۶): هندسه و جنس پوسته مرکب دوانحنایی

پوسته مرکب دوانحنایی	
$E_{11} = 141.73 \text{ GPa}$	$a = 250 \text{ mm}$
$E_{22} = 13.79 \text{ GPa}$	$b = 250 \text{ mm}$
$G_{12} = G_{13} = 4.64 \text{ GPa}$	$h = 3.81 \text{ mm}$
$G_{23} = 4.14 \text{ GPa}$	Lamination $[\theta - \theta \theta - \theta]$
$\rho = 1610 \text{ kgm}^{-3}, \nu_{12} = 0.3$	$R_1 = R_2 = 0.5 \text{ m}$
اجرام ضربه‌زننده	
$E = 200 \text{ GPa}$	$d_i = 9.25 \text{ mm}$
$\rho = 7971 \text{ kgm}^{-3}$	$V_i = 5 \text{ ms}^{-1}$
$\nu = 0.3$	$m_i = 2.6 \text{ kg}; i = 1, 2$

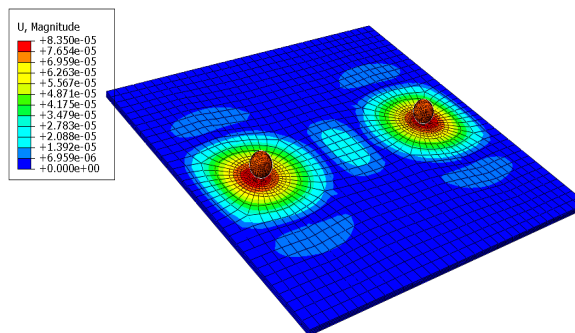
در شکل ۱۲ و ۱۳ به ترتیب تغییرات تاریخچه نیروی برخورد و خیز پوسته مرکب با نسبت‌های مختلف a/b برای هر دو نوع شرط مرزی آورده شده است. شکل ۱۲ نشان می‌دهد که با افزایش نسبت طول به عرض سازه (ضریب منظری سازه) نیروی بیشینه برای شرط مرزی ساده و گیردار به ترتیب کمی افزایش می‌یابند. با افزایش نسبت طول به عرض از ۱ به ۴ و افزایش نسبی سفتی پوسته بیشینه نیروی برای شرط مرزی ساده و گیردار به ترتیب ۳/۲٪ و ۲٪ افزایش و کاهش می‌یابند. با



شکل (۱۰): مقایسه خیز عرضی حاصل از دو مدل تحلیلی

و المان محدود.

همچنان که این شکل‌ها نشان می‌دهند، نتایج به‌دست آمده برای نیرو و خیز با استفاده از فرمول‌بندی ارائه‌شده و المان محدود، توافق و تطابق بسیار خوبی با هم دارند. چون ضربه‌زننده‌ها به‌طور کامل مشابه هم بوده و همچنین نقاط ضربه نسبت به مرکز صفحه مرکب متقارن بوده، بنابراین بیشینه نیرو و خیز در دو نقطه برخورد کاملاً برابر می‌باشند. نتایج و نمودارهای خیز و نیرو برحسب زمان به‌دست آمده از مدل حاضر، برای ضربه‌زننده اول و دوم به‌علت تقارن محل ضربه‌زننده‌ها و شرایط مرزی ورق کاملاً روی هم منطبق شده‌اند. این اتفاق برای نتایج المان محدود نیز ملاحظه می‌شود. بیشینه نیرو و خیز به‌دست آمده حاصل از روش المان محدود کمی بیشتر از روش حاضر می‌باشد که می‌تواند به‌دلیل استفاده از المان جامد و مدل Hard Contact باشد. در شکل ۱۱ نمای سه‌بعدی پوسته مرکب تحت برخورد دو جرم ضربه‌زننده با استفاده از مدل المان محدود آورده شده است.



شکل (۱۱): پوسته مرکب مسطح تحت برخورد دو جرم

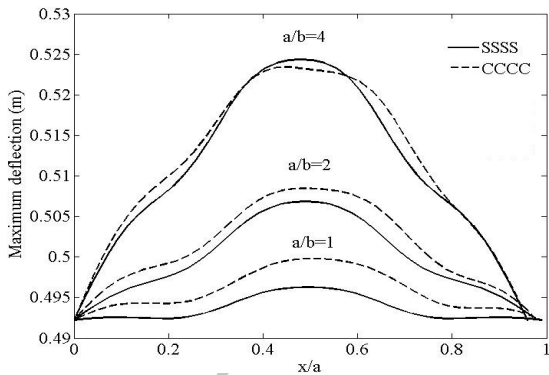
ضربه‌زننده در نرم‌افزار ABAQUS.

از نتایج ذکر شده می‌توان نتیجه گرفت که فرمول‌بندی

طول به عرض، مقدار نیرو برای شرط مرزی گیردار بیشتر از شرط مرزی ساده بوده و این رفتار به دلیل افزایش سفتی سازه می باشد. این رفتار برای خیز سازه برعکس است. تغییرات خیز بیشینه در راستای طولی سازه ($y=b/2$) با نسبت های مختلف a/b برای هر دو نوع شرط مرزی ساده و گیردار در شکل ۱۴ نشان داده شده است. ملاحظه می شود که با افزایش ضریب منظری پوسته (a/b) و تبدیل شدن به باریکه، اثرات شرایط مرزی به علت نزدیک شدن دو لبه مقابل کاهش یافته و حالات لولا و گیردار رفتاری مشابه از خود نشان می دهند.

۲-۶- اثر سرعت ضربه زننده

در این بخش به بررسی اثر سرعت ضربه زننده ها بر روی رفتار دینامیکی پوسته مرکب تک انحنایه تحت برخورد دو جرم ضربه زننده در نقاط $(x_1=a/2, y_1=b/2)$ و $(x_2=4a/5, y_2=b/2)$ با استفاده از مدل کامل پرداخته می شود. خواص مکانیکی پوسته و ضربه زننده مشابه جدول ۳ می باشد، ولی خواص هندسی پوسته در جدول ۷ داده شده است. سرعت ضربه زننده های اول و دوم در سه حالت مورد مطالعه به صورت (۵ و ۱۰)، (۱۵ و ۱۵) و (۱۵ و ۱۵) متر بر ثانیه می باشند. همچنین جرم هر یک از ضربه زننده ها 8.53gr و قطر هر کدام ۱۲/۷ mm می باشند.



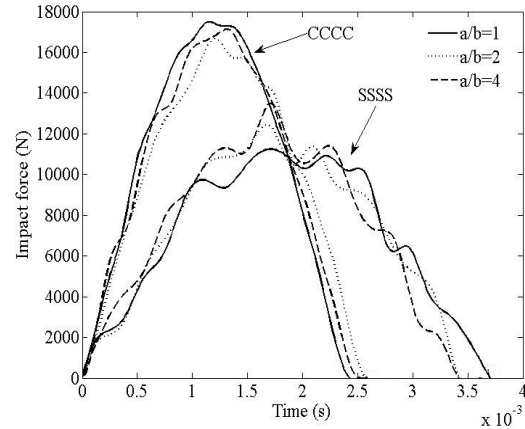
شکل (۱۴): تغییرات بیشینه خیز به دست آمده از مدل کامل در راستای x ($y=b/2$) با نسبت طول به عرض سازه برای هر دو نوع شرط مرزی.

جدول (۷): خواص هندسی پوسته تک انحنایی.

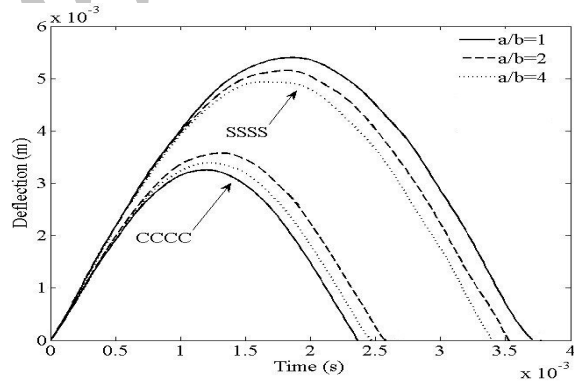
$a = 300 \text{ mm}, b = 200 \text{ mm}, h = 2.54 \text{ mm}, R_1 = \infty, R_2 = 10h,$ $\text{lamination} = [0/90/90/0]$
--

در شکل ۱۵ و ۱۶ به ترتیب تاریخچه نیرو و خیز برای سرعت های ضربه زننده فوق و در بعضی از نقاط برخورد با استفاده از مدل کامل برای پوسته های مرکب تک انحنایه با

توجه به چیره بودن اثرات شرایط مرزی و انحناهای گیردار بر اثرات افزایش نسبت طول به عرض، ملاحظه می شود که اثر این پارامتر روی پوسته با شرایط مرزی گیردار کمتر از حالت اطراف لولا می باشد.



شکل (۱۲): تغییرات تاریخچه نیروی برخورد به دست آمده از مدل کامل در نقطه ی برخورد اول با نسبت طول به عرض سازه برای هر دو نوع شرایط مرزی.



شکل (۱۳): تغییرات تاریخچه خیز به دست آمده از مدل کامل در نقطه ی برخورد اول با نسبت طول به عرض سازه برای هر دو نوع شرط مرزی.

از مشاهده شکل ۱۳ ملاحظه می شود که رفتار تغییرات خیز با نسبت طول به عرض برعکس نیرو می باشد، به نحوی که با افزایش نسبت طول به عرض از ۱ به ۴، بیشینه خیز سازه برای شرط مرزی ساده و گیردار به ترتیب ۸/۳٪ کاهش و ۹/۳۷٪ افزایش می یابد. این موضوع و پیچیدگی رفتاری به دلیل اثرات متقابل انحناها و شرایط مرزی به طبع افزایش و کاهش دو دهنه پوسته در جهات دو محور عمود برهم می باشد. این در حالی است که در یک ورق تخت چنین رفتارهایی ملاحظه نمی شود. همچنین این شکل ها نشان می دهند که در هر نسبت

این شکل‌ها نشان می‌دهند که با افزایش سرعت برخورد اجرام ضربه‌زننده در هر نقطه، برخورد نیرو و خیز افزایش می‌یابد، زیرا انرژی ضربه‌زننده افزایش می‌یابد. بدیهی است که هرچه محل برخورد به لبه تکیه‌گاهی پوسته نزدیک‌تر باشد نیروی برخورد بیشتر و خیز کمتری مشاهده می‌شود.

از طرفی همان‌طور که مشاهده می‌شود، زمان تماس تاریخیچه نیرو با تاریخیچه خیز برابر نیست و به عبارتی هنگامی که نیرو به صفر می‌رسد تاریخیچه خیز به صفر نمی‌رسد و افزایش می‌یابد. این پدیده فقط در جرم‌های کوچک اتفاق می‌افتد.

۳-۶- اثر نسبت L/R در استوانه کامل

یکی دیگر از پارامترهای بسیار مهم در پوسته‌های مرکب استوانه‌ای تحت برخورد اجرام ضربه‌زننده، نسبت طول به شعاع سازه (L/R) می‌باشد. در این بخش اثر این نسبت روی رفتار دینامیکی پوسته استوانه‌ای تحت برخورد سه جرم ضربه‌زننده در نقاط $(x_1=L/4, \theta_1=0)$ ، $(x_2=L/2, \theta_2=0)$ و $(x_3=3L/4, \theta_3=0)$ بررسی می‌شود. خواص هندسی و مکانیکی ضربه‌زننده‌ها و پوسته‌ی استوانه‌ای در جدول ۸ داده شده است.

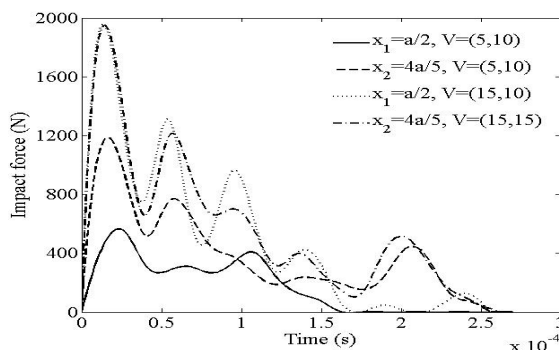
جدول (۸): هندسه و جنس پوسته مرکب استوانه‌ای و اجرام ضربه‌زننده.

پوسته مرکب استوانه‌ای	
$E_{11} = 138 \text{ GPa}$, $E_{22} = 9 \text{ GPa}$ $G_{12} = G_{13} = 7.1 \text{ GPa}$ $G_{23} = 3.24 \text{ GPa}$ $\rho = 1540 \text{ kgm}^{-3}$, $\nu_{12} = 0.3$	$R = 0.1 \text{ m}$ lamination $[0/90/0/90]_s$ $L = 2R$
اجرام ضربه‌زننده	
$E = 200 \text{ GPa}$ $\rho = 7971 \text{ kgm}^{-3}$ $\nu = 0.3$	$d_i = 25.4 \text{ mm}$ $V_i = 20 \text{ ms}^{-1}$; $i = 1, 2$

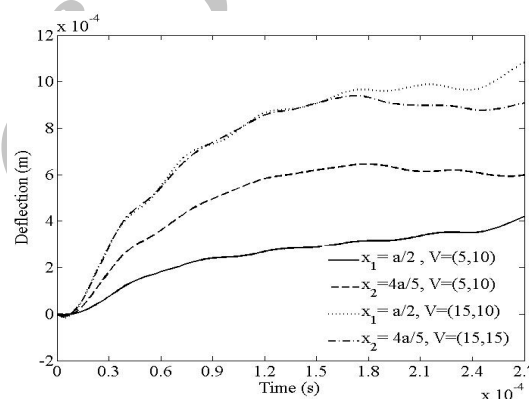
همچنین جرم تمامی ضربه‌زننده‌ها $2/5$ کیلوگرم می‌باشد. تغییرات بیشینه نیروی برخورد در هر سه نقطه برخورد برای هر دو نوع شرط مرزی ساده و گیردار با نسبت L/R (از ۱ تا ۶) به ترتیب در شکل ۱۸ و ۱۹ نشان داده شده است.

همان‌طور که مشاهده می‌شود با افزایش نسبت طول به شعاع سازه یا به عبارتی با افزایش طول پوسته استوانه‌ای، مقدار بیشینه نیروی برخورد در هر سه نقطه برخورد کاهش می‌یابد زیرا سفتی سازه کاهش پیدا می‌کند. همان‌طور که مشاهده

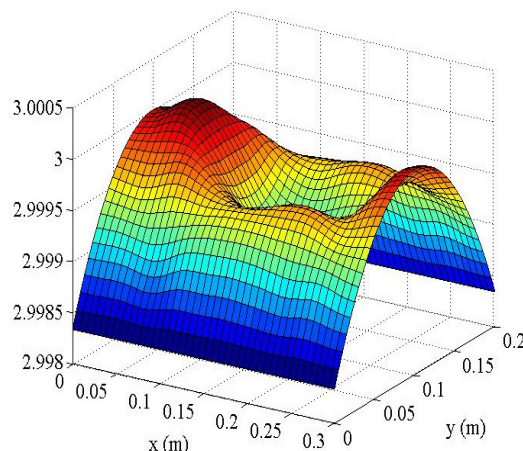
شرط مرزی گیردار نشان داده است. به کمک روش حل حاضر، نمای سه‌بعدی پوسته مرکب تک‌انحنایه تحت دو جرم ضربه‌زننده در شکل ۱۷ آورده شده است. در این شکل محور عمودی خیز و واحد آن متر می‌باشد.



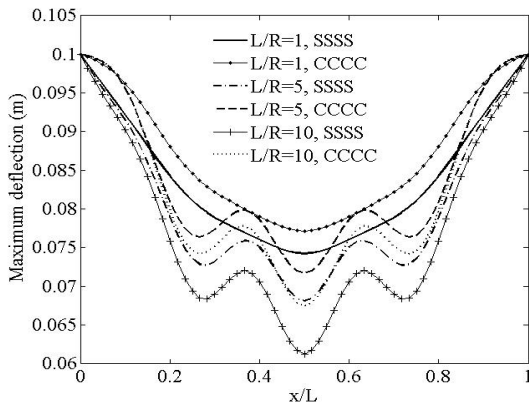
شکل (۱۵): تغییرات تاریخیچه نیروی برخورد در هر دو نقطه‌ی برخورد با سرعت ضربه‌زننده.



شکل (۱۶): تغییرات تاریخیچه نیروی برخورد در هر دو نقطه برخورد با سرعت ضربه‌زننده.

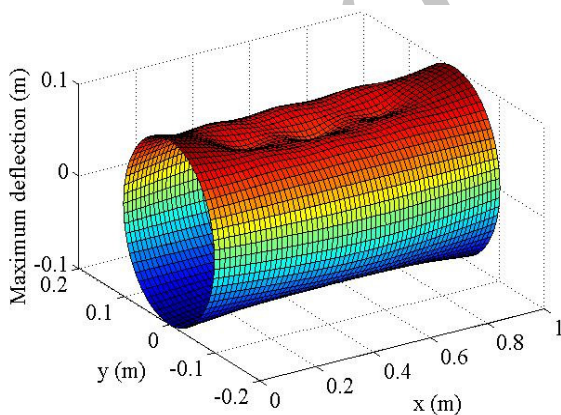


شکل (۱۷): نمای سه‌بعدی بیشینه تغییر شکل پوسته مرکب تک‌انحنایه باز تحت برخورد دو جرم ضربه‌زننده با سرعت $V=(15,10)$ با شرط مرزی گیردار.



شکل (۲۰): تغییرات بیشینه خیز در راستای x ($\theta=0$) با نسبت L/R برای هر دو نوع شرط مرزی.

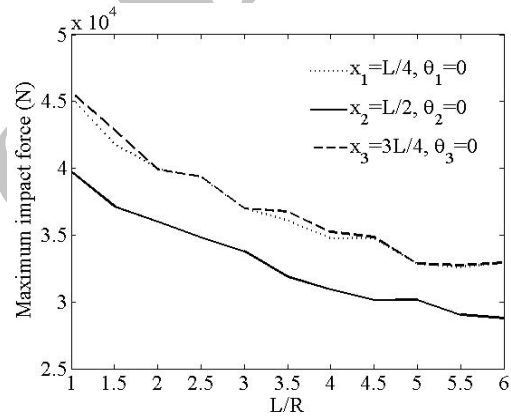
شکل ۲۰ نشان می‌دهد که در نسبت‌های پایین طول به شعاع، سازه دست‌خوش خیز بسیار کمتری می‌شود و همچنین به دلیل نزدیک بودن نقاط برخورد در طول‌های کم سازه، سازه به صورت یکپارچه خیز برمی‌دارد. ولی در نسبت‌های بالای طول به شعاع سازه، خیز زیر نقاط برخورد بیشینه بوده و سازه به صورت یکپارچه منظم دست‌خوش جابه‌جایی نمی‌شود. همچنین با افزایش نسبت L/R به دلیل بیشتر شدن انعطاف‌پذیری سازه مقدار خیز افزایش یافته و این افزایش برای شرط مرزی ساده به مراتب بیشتر می‌باشد. نمای سه‌بعدی پوسته مرکب استوانه‌ای تحت برخورد سه جرم ضربه‌زننده برای نسبت $L/R=10$ با شرط مرزی ساده در شکل ۲۱ نشان داده شده است.



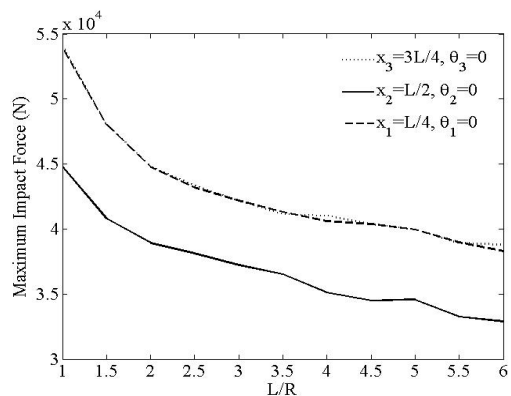
شکل (۲۱): نمای سه‌بعدی تغییر شکل بیشینه پوسته مرکب

استوانه‌ای تحت برخورد سه جرم ضربه‌زننده برای نسبت $L/R=10$ برای شرط مرزی دوسر ساده.

می‌شود مقدار نیروی برخورد در هر نسبت طول به شعاع و برای هر نوع شرط مرزی در نقطه برخورد دوم کمتر از نقاط دیگر می‌باشد، زیرا سفتی در مرکز یک سازه همواره کمتر از بقیه نقاط می‌باشد. بدیهی است که هرچه محل برخورد به لبه تکیه‌گاهی پوسته نزدیک‌تر باشد، نیروی برخورد بیشتر و خیز کمتری مشاهده می‌شود. شکل‌های ۱۸ و ۱۹ نشان می‌دهند که بارگذاری و مختصات آنها در جهت طولی استوانه نسبت به وسط استوانه متقارن است. همچنین به دلیل کمتر بودن انعطاف‌پذیری سازه با شرط مرزی گیردار، مقدار نیروی برخورد برای شرط مرزی گیردار در هر نسبت طول به شعاع بیشتر از شرط مرزی ساده می‌باشد. تغییرات بیشینه خیز پوسته برای سه نسبت $L/R=1,5,10$ و برای هر دو نوع شرایط مرزی در راستای طولی سازه استوانه‌ای ($\theta=0$) در شکل ۲۰ نشان داده شده است.



شکل (۱۸): تغییرات بیشینه نیروی برخورد در هر سه نقطه برخورد با نسبت L/R برای استوانه با دو سر شرط مرزی ساده.



شکل (۱۹): تغییرات بیشینه نیروی برخورد در هر سه نقطه برخورد با نسبت L/R برای شرط مرزی گیردار.

۷- نتیجه گیری

در تحقیق حاضر، برای اولین بار پاسخ دینامیکی انواع پوسته‌های مرکب تحت ضربه چند جرم ضربه‌زننده براساس تئوری مرتبه برشی اول و با استفاده از روش سری فوریه مطالعه شده و معادلات حرکت به روش نیمه تحلیلی حل شده است. بعضی از نتایج به دست آمده در این مقاله عبارتند از:

- ۱- دو مدل جرم و فنر خطی شده جدید و مدل کامل غیرخطی هرتز توانایی بسیار بالایی در تحلیل چند ضربه داشته و توافق خوبی با هم دارند.
- ۲- با افزایش نسبت طول به عرض از ۱ به ۴، بیشینه خیز سازه برای شرط مرزی ساده و گیردار به ترتیب ۸/۳٪ کاهش و ۹/۳۷٪ افزایش می‌یابد. این موضوع و پیچیدگی رفتاری به دلیل اثرات متقابل انحناها و شرایط مرزی، به طبع افزایش و کاهش دو دهنه پوسته در جهات دو محور عمود بر هم می‌باشد. این در حالی است که در یک ورق تخت چنین رفتارهایی ملاحظه نمی‌شود.
- ۳- با افزایش ضریب منطری پوسته و تبدیل شدن به باریکه اثرات شرایط مرزی به علت نزدیک شدن دو لبه مقابل کاهش یافته و حالات لولا و گیردار رفتاری مشابه از خود نشان می‌دهند.
- ۴- با افزایش نسبت طول به عرض پوسته دوانحنایی (a/b)، برای شرایط مرزی ساده مقدار نیرو افزایش و برای شرط مرزی گیردار نیرو کاهش می‌یابد. این تغییرات برای خیز پوسته برعکس می‌باشد. با توجه به چیره بودن اثرات شرایط مرزی و انحناهای گیردار بر اثرات افزایش نسبت طول به عرض، ملاحظه می‌شود که اثر این پارامتر روی پوسته با شرایط مرزی گیردار کمتر از حالت اطراف لولا می‌باشد.
- ۵- با افزایش نسبت (L/R) به دلیل افزایش انعطاف پذیری سازه‌ها، مقدار نیرو کاهش و خیز بیشینه در زیر هر نقطه ضربه‌زننده افزایش می‌یابد.
- ۶- با تغییر سرعت اجرام ضربه‌زننده، بیشینه نیرو و خیز به دلیل بیشتر شدن انرژی ضربه‌زننده‌ها، افزایش می‌یابند.
- ۷- در تمامی تحلیل‌های انجام شده مقدار نیرو برای شرط مرزی گیردار بیشتر از شرط مرزی ساده بوده و این روند برای خیز برعکس می‌باشد. شرط مرزی گیردار باعث سفت تر بودن سازه‌ها می‌گردد.
- ۸- در ضربه‌زننده‌های با جرم کوچک زمان تماس برای تاریخچه نیرو و تاریخچه خیز متفاوت می‌باشد در حالی که در اجرام بزرگ ضربه‌زننده زمان تماس برای هر دوی آنها تقریباً برابر می‌باشد.

۸- مراجع

1. Christoforou, A.P. and Swanson, S.R. "Analysis of Impact Response in Composite Plate", Int. J. Solids Struct; Vol. 27, No.2, pp. 161-70, 1991.
2. Pierson, M.O. and Vaziri, R. "Analytical Solution for Low-Velocity Impact Response of Composite Plates", AIAA J., Vol. 34, No. 8, pp. 1633-40, 1996.
3. Christoforou, A.P. and Yigit, A.S. "Characterization of Impact in Composite Plates", Int. J. Composite Structures, Vol. 43, No.1, pp. 15-24, 1998.
4. Chun, L. and Lam, K.Y. "Dynamic Response of Fully Clamped Laminated Composite Plates Subjected to Low Velocity Impact of a Mass", Int. J. Solids Struct; Vol. 35, No.11, pp. 963-79, 1998.
5. Sun, C.T. and Chen, J.K. "On the Impact of Initially Stressed Composite Laminates", Int. J. Composite Materials, Vol. 19, No. 6, pp. 490-504, 1985.
6. Gong, S.W., Toh, S.L. and Shim, V.P.W. "The Elastic Response of Orthotropic Laminated Cylindrical Shells to Low-Velocity Impact", Int. J. Composites Eng., Vol. 4, No. 2, pp. 241-266, 1994.
7. Chandrashekhara, K. and Schroeder, T. "Nonlinear Impact Analysis of Laminated Cylindrical and Doubly Curved Shells", Int. J. Composite Materials, Vol. 29, No.16, pp. 2160-2179, 1995.
8. Krishnamurthy, K.S., Mahajan, P., and Mittal, R.K. "A Parametric Study of the Impact Response and Damage of Laminated Cylindrical Composite Shells" Int. J. Composite Sciens, Vol. 61, No.12, pp. 1655-69, 2001.
9. Shih-Chuan, H. and Yu-Cheng, L. "The Finite Element Analysis of Composite Laminates and Shell Structures Subjected to Low Velocity Impact", Int. J. Composite Structures, Vol. 66, No.1-4, pp. 277-285, 2004.
10. Lam, K.Y. and Sathiyamoorthy, T.S. "Response of Composite Beam under Low-Velocity Impact of Multiple Masses", Int. J. Composite Structures, Vol. 44, No.2-3, pp. 205-220, 1999.
11. Ghajar, R., Malekzadeh, K., Gholami, M. "Analysis of impact dynamic response of doubly curved composite laminated shell under initial stresses" Aerospace mechanics Emam Hossien Journal, accepted in 16 september Vol. 10, No.4, 2013(In Persian).
12. Reddy, J.N. "Exact Solution of Moderately Thick Laminated Shells", Int. J. Engng Meek. ASCE, Vol. 118, No.5, pp. 794-889, 1984.
13. Sanders, J.L. "An Improved First Approximation Theory for Thin Shells", NASA THR24, 1959.
14. Ugural, A.C. "Stresses in Plates and Shells", McGraw-Hill, 1999.
15. Mindlin, R.D. "Influence of Rotary Inertia and Shear on Flexural Motions of Isotropic Elastic Plates", Int. J. Applied Mech., Vol. 18, No.2, pp. 31-8, 1951.
16. Qatu, M.S. "Vibration of Laminated Shells and Plates", first edition, John Wiley Press, 2004.
17. Carvalho, A. and Soares, C.G. "Dynamic Response

$$L_{11} = A_{11} \frac{\partial^2}{\partial X_1^2} + (A_{66} + 2C_0 B_{66} + C_0^2 D_{66}) \frac{\partial^2}{\partial X_2^2} + 2C_0 B_{16} \frac{\partial^2}{\partial X_1 \partial X_2} - \frac{K_s A_{55}}{R_1^2} - \frac{\partial^2}{\partial t^2}$$

$$L_{12} = L_{21} = -C_0 B_{16} \frac{\partial^2}{\partial X_1^2} + C_0 B_{26} \frac{\partial^2}{\partial X_2^2} + (A_{12} + A_{66} - C_0^2 D_{66}) \frac{\partial^2}{\partial X_1 \partial X_2}$$

$$L_{13} = -L_{31} = \left[\frac{(A_{11} + K_s A_{55})}{R_1} + \frac{A_{12}}{R_2} \right] \frac{\partial}{\partial X_1} + C_0 \left(\frac{B_{16}}{R_1} + \frac{B_{26}}{R_2} \right) \frac{\partial}{\partial X_2}$$

$$L_{14} = L_{41} = B_{11} \frac{\partial^2}{\partial X_1^2} + (B_{66} + C_0 D_{66}) \frac{\partial^2}{\partial X_2^2} + 2B_{16} \frac{\partial^2}{\partial X_1 \partial X_2} + \frac{K_s A_{55}}{R_1} - \frac{\partial^2}{\partial t^2}$$

$$L_{15} = L_{51} = (B_{12} + B_{66} + C_0 D_{66}) \frac{\partial^2}{\partial X_1 \partial X_2} + B_{16} \frac{\partial^2}{\partial X_1^2} + B_{26} \frac{\partial^2}{\partial X_2^2}$$

$$L_{22} = (A_{66} - 2C_0 B_{66} + C_0^2 D_{66}) \frac{\partial^2}{\partial X_1^2} + A_{22} \frac{\partial^2}{\partial X_2^2} - 2C_0 B_{26} \frac{\partial^2}{\partial X_1 \partial X_2} - \frac{K_s A_{44}}{R_2^2} - \frac{\partial^2}{\partial t^2}$$

$$L_{23} = -L_{32} = -C_0 \left(\frac{B_{16}}{R_1} + \frac{B_{26}}{R_2} \right) \frac{\partial}{\partial X_1} + \left[\frac{A_{12}}{R_1} + \frac{1}{R_2} (A_{22} + K_s A_{44}) \right] \frac{\partial}{\partial X_2}$$

$$L_{24} = L_{42} = B_{16} \frac{\partial^2}{\partial X_1^2} + B_{26} \frac{\partial^2}{\partial X_2^2} + (B_{12} + B_{66} - C_0 D_{66}) \frac{\partial^2}{\partial X_1 \partial X_2}$$

$$L_{25} = L_{52} = (B_{66} - C_0 D_{66}) \frac{\partial^2}{\partial X_1^2} + B_{22} \frac{\partial^2}{\partial X_2^2} + 2B_{26} \frac{\partial^2}{\partial X_1 \partial X_2} + \frac{K_s A_{44}}{R_2} - \frac{\partial^2}{\partial t^2}$$

$$L_{33} = K_s A_{55} \frac{\partial^2}{\partial X_1^2} + K_s A_{44} \frac{\partial^2}{\partial X_2^2} - \frac{A_{11}}{R_1^2} - \frac{2A_{12}}{R_1 R_2} - \frac{A_{22}}{R_2^2} - \frac{\partial^2}{\partial t^2}$$

of Rectangular Plates of Composite Materials Subjected to Impact Loads”, *Int. J. Composite Structures*, Vol. 34, pp. 55–63, 1996.

18. Zheng, D. and Binienda, W.K. “Analysis of Impact Response of Composite Laminates under Prestress”, 10.1061/(ASCE)0893-132121, Vol. 21, No. 24, pp. 127-135, 2008.
19. Abrate, S. “Modeling of Impacts on Composite Structures”, *Int. J. Composite Structures*, Vol. 51, No.2, pp. 129-38, 2001.
20. Shivakumar, K.N., Elber, W., and Ilg, W. “Prediction of Impact Force and Duration Due to Low Velocity on Circular Composite Laminates”, *Int. J. Mechanics*, Vol. 52, No.3, pp.674-680, 1985.
21. Choi, I.H. and Lim, C.H. “Low-Velocity Impact Analysis of Composite Laminates Using Linearized Contact Law”, *Int. J. Composite Structures*, Vol. 66, No.1-4, pp. 125–32, 2004.
22. Shokuhfar, A., Khalili, S.M.R., Ashenai Ghasemi, F., Malekzadeh, K., and Raissi, S. “Analysis and Optimization of Smart Hybrid Composite Plates Subjected to Low-Velocity Impact Using the Response Surface Methodology (RSM)”, *Thin-Walled Structures*, Vol. 46, No.11, pp. 1204–12, 2008.
23. Swanson, S.R. “Limits of Quasi-Static Solutions in Impact of Composite Structures”, *Int. J. Composite Engineering*, Vol. 2, No. 4, pp. 261-267, 1992.
24. Abrate, S. “Impact on Composite Structures”, Cambridge University Press, US, 1998.
25. Delfosse, D., Vaziri, R., Pierson, M.O., and Poursartip, A. “Analysis of the Non-Penetrating Impact Behavior of CFRP Laminates”, In: *Proceeding of the 9th Int. Conf. on Composite Materials (Madrid, Spain)*, Cambridge, England, UK: Woodhead Publishing, Vol. 5, No. 9, pp. 366–73, 1993.
26. Christoforou, A.P., Elsharkawy, A.A., and Guedouar, L.H. “An Inverse Solution for Low Velocity Impact in Composite Plates”, *Int. J. Computers and structures*, Vol. 79, No. 29-30, pp. 2607 – 2619, 2001.
27. Krishnamurthy, K..S., Mahajan, P., and Mittal, R.K. “Impact Response and Damage in Laminated Composite Cylindrical Shells”, *Composite Structures*, Vol. 59, No.1, pp. 15–36, 2003.
28. Matemilola, S.A. and Stronge, W.J. “Impact Response of Composite Cylinders. *Int. J. Solids and Structures*”, Vol. 34, No. 21, pp. 2669-2684, 1997.

پیوست الف

تعدادی از اپراتورهای مشتقات L_{ij} و درآیه های ماتریس های سفتی k_{ij} و جرمی M_{ij} پوسته مرکب دو انحنایه باز عبارتند از:

تعدادی از درآیه های ماتریس جرم:

$$M_{11} = M_{22} = M_{33} = I_0$$

$$M_{14} = M_{25} = I_1$$

$$M_{44} = M_{45} = I_2, \quad M_{ij} = M_{ji}$$

$$k_{11} = A_1 \alpha_m^2 + (A_{66} + 2C_0 B_{66} + C_0^2 D_{66}) \beta_n^2 + \frac{k_s A_{35}}{R_1^2}$$

$$k_{12} = k_{21} = (A_2 + A_{66} - C_0^2 D_{66}) \alpha_m \beta_n$$

$$k_{13} = k_{31} = -\left[\frac{1}{R_1} (A_1 + k_s A_{35}) + \frac{A_2}{R_2} \right] \alpha_m$$

$$k_{15} = k_{51} = (B_{12} + B_{66} + C_0 D_{66}) \alpha_m \beta_n$$

$$k_{22} = A_2 \beta_n^2 + (A_{66} - 2C_0 B_{66} + C_0^2 D_{66}) \alpha_m^2 - \frac{k_s A_{44}}{R_2^2}$$

$$k_{23} = k_{32} = -\left[\frac{1}{R_2} (A_2 + k_s A_{44}) + \frac{A_2}{R_1} \right] \beta_n$$

$$k_{24} = k_{42} = (B_{12} + B_{66} - C_0 D_{66}) \alpha_m \beta_n$$

$$k_{25} = k_{52} = B_{22} \beta_n^2 + (B_{66} - C_0 D_{66}) \alpha_m^2 - \frac{k_s A_{44}}{R_2^2}$$

$$k_{33} = k_s A_{35} \alpha_m^2 + k_s A_{44} \beta_n^2 + \frac{A_1}{R_1^2} + \frac{2A_2}{R_1 R_2} + \frac{A_2}{R_2^2}$$

Archive of SID